

UTICAJ pH VREDNOSTI NA ANTIRADIKALSKI KAPACITET 4,7-DIHIDROKSIKUMARINA

Žiko Milanović^{1,2}, Ana Kesić¹, Edina Avdović¹, Jelena Đorović Jovanović¹, Dejan Milenković¹

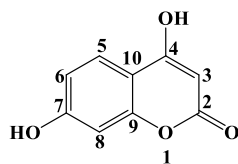
Izvod: Primenom sofisticiranih računarskih metoda vršeno je ispitivanje mehanizama antiradikalског delovanja 4,7-dihidroksikumarina sa peroksi (HOO^\bullet) radikalom u vodi pri različitim pH vrednostima (0-14). Acido-bazne vrste, koje su procentualno različito zastupljene pri različitim pH vrednostima, doprinose sveobuhvatnom ispitivanju antiradikalског kapaciteta. Ukupna konstanta brzine reakcije (*kukupno*) operativnih reakcionalih puteva (HAT i RAF) od $2.07 \times 10^2 \text{ M}^{-1} \text{ s}^{-1}$, pri fiziološkom pH, ukazuje na umerenu sposobnost uklanjanja HOO^\bullet radikala. Vrednost *kukupno* od $1.05 \times 10^3 \text{ M}^{-1} \text{ s}^{-1}$ koja se javlja pri pH > 10 ukazuje na maksimum antiradikalског kapaciteta 4,7-dihidroksikumarina prema HOO^\bullet radikalu.

Ključне речи: antioksidansi, 4,7-dihidroksikumarin, DFT

Uvod

Derivati kumarina predstavljaju široko rasprostranjena jedinjenja u bilnjom svetu koja pokazuju širok spektar bioloških aktivnosti kao što su antitumorska, antibakterijska, antifungalna, antiinflamatorna, antioksidativna itd. (Talapatra i Talapatra, 2015). Brojna istraživanja poslednjih decenija pokazala su da derivati kumarina s fenolnim hidroksilnim grupama pokazuju sposobnost inaktivacije reaktivnih radikalских vrsta (Kalkhambkar, 2011).

Jedinjenje 4,7-dihidroksikumarin (**4,7-DHK**, Slika 1) predstavlja dihidroksilni derivat kumarina čiji antioksidativni kapacitet nije ispitana. Strukturalna analogija sa efikasnim antioksidantima kao što su 7-hidroksikumarin i 6,7-dihidroksikumarin ukazuje na potencijalno efikasnu antiradikalsku aktivnost (Fylaktakidou, 2004).



Slika 1. Struktura 4,7-dihidroksikumarina (4,7-DHK) sa numeracijom atoma

Figure 1. Structure of the 4,7-dihydroxycoumarin (4,7-DHK) with atomic numbering

¹Univerzitet u Kragujevcu, Institut za informacione tehnologije, Jovana Cvijića bb, Kragujevac, Srbija
(ziko.milanovic@pmf.kg.ac.rs);

²Univerzitet u Kragujevcu, Prirodno-matematički fakultet, Radoja Domanovića 12, Kragujevac, Srbija.

Iz tog razloga, izvršeno je ispitivanje mehanizama antiradikalског delovanja (transfer vodonikovog atoma (HAT), formiranje radikalског adukta (RAF) i transfer elektrona (ET)) **4,7-DHK** sa HOO[•] radikalom koji nastaje kao produkt brojnih oksidativnih procesa u organizmu kao i prehrambenih tehnoloških procesa (Hanasaki i sar., 1994). Procena antiradikalског kapaciteta vršena je na različitim pH vrednostima (različitim acido-baznim vrstama) čime se doprinosi sveobuhvatnom i potpunijem ispitivanju.

Materijal i metode rada

Kako bi se procenila zastupljenost acido-baznih vrsta pri različitim pH vrednostima, neophodno je procenti odgovarajuće molske udele (f):

$$f\left[H_i X^{(n-1)-}\right] = \beta_i \left[H^+\right]^i f(X^{n-}) \quad (1)$$

gde vrednost β_i predstavlja globalnu konstantu ravnoteže (Milanović i sar., 2020):

$$\beta_i = 10^{\sum_{j=1}^i pK_a(n+1-j)} \quad (2)$$

Ispitivanje antiradikalског kapaciteta različito zastupljenih acido-baznih vrsta **4,7-DHK** prema HOO[•] radikalu u vodi vršena je primenom programskog paketa Gaussian09 (Frisch i sar., 2010) i M06-2X/6-311++G(d,p) teorijskog modela u kombinaciji sa CPCM solvacionim modelom. Prvi korak ovog ispitivanja obuhvata procenu termodinamičkih parametara-slobodnih energija reakcije ($\Delta_r G$). Položaji koji imaju vrednosti $\Delta_r G < 40$ kJ mol⁻¹ podvrgnuti su kinetičkom ispitivanju. Konstante brzine reakcije procenjene su primenom konvencionalne teorije prelaznog stanja (*Transition State Theory (TST)*):

$$k_{TST} = \frac{k_B T}{h} \exp\left(\frac{-\Delta G^\ddagger}{RT}\right) \quad (3)$$

U jednačini (3) k_B i h predstavljaju Boltzmanovu (*Boltzman*) i Plankovu (*Planck*) konstantu, dok ΔG^\ddagger označava energiju aktivacije. U slučaju HAT i RAF mehanizma u jednačinu 3 se uključuju dva parametra: degenerisanost reakcionog puta (σ) i transmisioni koeficijent $\gamma(T)$, tako da jednačina poprima sledeći oblik (Ekartova metoda, ZCT_0)(Milanović i sar., 2020):

$$k_{ZCT_0} = \sigma \gamma(T) \frac{k_B T}{h} \exp\left(\frac{-\Delta G^\ddagger}{RT}\right) \quad (4)$$

Rezultati istraživanja i diskusija

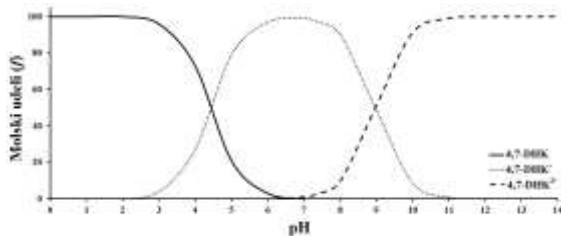
Eksperimentalno određen proces deprotonacije (Nowak i sar., 2020), kao i optimizovane strukture ispitivanih acido-baznih vrsta, predstavljen je na slici 2.



Slika 2: Proces deprotozacije i optimizovane strukture acido-baznih vrsta 4,7-DHK na M062X/6-311++G(d,p) nivou teorije

Figure 2. Process of deprotonation and optimized structure of acid-base species of 4,7-DHK at M062X / 6-311++G (d, p) level of theory

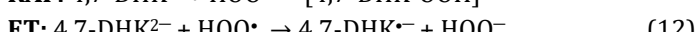
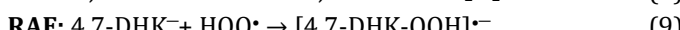
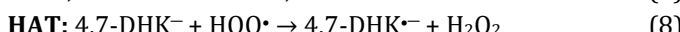
Molski udeli (f) zastupljenih acido-baznih vrsta nalaze se na Slici 3. Najzastupljenije acido-bazne vrste na fiziološkom pH su: **4,7-DHK⁻** sa 97 % i **4,7-DHK²⁻** sa 3 %.



Slika 3. Grafik zavisnosti molskih udela (f) različitih acido-baznih vrsta 4,7-DHK od pH vrednosti

Figure 3. Graph of dependence of molar fractions (f) of different acid-base species 4,7-DHK on pH value

Inaktivacija HOO[•] radikala acido-baznim vrstama: **4,7-DHK** (5-7), **4,7-DHK⁻** (8-10), **4,7-DHK²⁻** (11,12) odigrava se preko već pomenutih mehanizama (HAT, RAF, ET):



Na osnovu rezultata u Tabeli 1 može se zaključiti da je HAT operativan mehanizam u reakciji oba položaja (4-OH i 7-OH) neutralne vrste **4,7-DHK** i HOO[•] kao i 7-OH položaja acido-bazne vrste **4,7-DHK⁻** i HOO[•]. Vrednosti $\Delta_r G > 40 \text{ kJ mol}^{-1}$ ukazuju da RAF mehanizam nije termodinamički favorizovan ni u jednom

položaju osim u C-6 (32 kJ mol⁻¹) i C-8 (31 kJ mol⁻¹) u reakciji **4,7-DHK²⁻** i HOO[•] radikala. Izrazito endergone vrednosti isključuju ET mehanizam iz dalje procene antiradikaliskog kapaciteta.

Tabela 1. Procenjene vrednosti slobodne energije reakcija ($\Delta_r G$) u kJ mol⁻¹Table 1. Estimated values of the free reaction energy ($\Delta_r G$) in kJ mol⁻¹

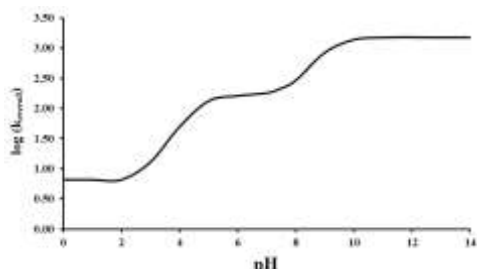
HAT	4,7-DHK (5)	4,7-DHK-(8)	4,7-DHK²⁻
4-OH	18	/	/
7-OH	16	3	/
ET (7,10,12)	235	124	51
RAF	4,7-DHK (6)	4,7-DHK-(9)	4,7-DHK²⁻ (11)
C-3	53	61	80
C-4	60	100	101
C-5	77	55	56
C-6	83	78	32
C-7	74	72	77
C-8	75	71	31
C-9	85	86	90
C-10	119	104	83

Termodinamički povoljni reakcioni putevi podvrgnuti su kinetičkom ispitivanju. Za sve termodinamički povoljne položaje locirane su geometrije prelaznih stanja. Kinetički parametri (energije aktivacije (ΔG^\ddagger) kao i konstante brzine reakcije procenjene konvencionalnom (k_{TST}) i Eckartovom metodom (k_{ZCT_0})) nalaze se u Tabeli 2. Poređenjem k_{TST} i k_{ZCT_0} vrednosti na sobnoj temperaturi, uočava se da kod HAT mehanizma, u svim položajima, dolazi do značajnog odstupanja. Činjenica da HAT mehanizam uključuje lake čestice vodonikovih atoma koje su sposobne da prođu kroz aktivacionu barijeru, razlike između konstanti i podbačaja TST metode, mogu se pripisati efektu tunelovanja. Kod RAF mehanizma obe konstante imaju približno iste vrednosti.

Tabela 2. Procenjene vrednosti kinetičkih parametara: energije aktivacije (ΔG^\ddagger u kJ mol⁻¹), konstante brzine reakcije (M⁻¹ s⁻¹) procenjene konvencionalnom (k_{TST}) iEkartovom (k_{ZCT_0}) metodomTable 2. Estimated values of kinetic parameters: Gibbs activation energies (ΔG^\ddagger u kJ mol⁻¹), reaction rate constants (M⁻¹ s⁻¹) estimated by conventional (k_{TST}) and Eckart (k_{ZCT_0}) method

Mehanizam	Acido-bazna vrsta	Položaj	Kinetički parametri		
			ΔG^\ddagger	k_{TST}	k_{ZCT_0}
HAT	4,7-DHK	4-OH	100	5.06×10^{-4}	9.82×10^{-1}
		7-OH	92	9.68×10^{-3}	5.61×10^1
	4,7-DHK²⁻	7-OH	83	4.74×10^{-1}	1.67×10^2
RAF	4,7-DHK²⁻	C-6	68	1.66×10^2	2.10×10^2
		C-8	64	1.04×10^3	1.29×10^3

Nakon kinetičkih parametara, vršena je procena ukupne konstane brzine hemijske reakcije (k_{ukupno}). Ova vrednost predstavlja sumu konstanti brzina reakcije povoljnijih reakcionih puteva. Praćenjem zavisnosti $\log(k_{ukupno})$ od pH vrednosti (Slika 4) dobija se sveobuhvatna slika o antiradikalском kapacitetu ispitivanog jedinjenja. Sa porastom pH vrednosti dolazi do povećanja vrednosti $\log(k_{ukupno})$. Efikasnost **4,7-DHK** prema HOO^\bullet radikalu ima najmanju i konstantnu vrednost pri pH=0-2. Antiradikalски капацитет има константну вредност у pH intervalu 5-8, где posle blažeg skoka, u pH intervalu 10-14, dolazi do maksimuma efikasnosti **4,7-DHK** u uklanjanju HOO^\bullet radikala.



Slika 4. Grafik zavisnosti $\log(k_{ukupno})$ od pH vrednosti

Figure 4. Graph of dependence of $\log(k_{overall})$ on pH values

Zaključak

U okviru ove studije vršeno je ispitivanje antiradikalске aktivnosti **4,7-DHK** u zavisnosti od pH vrednosti medijuma. Vrednosti Δ_rG za HAT, RAF, ET mehanizme izračunate su kako bi se odredili najpovoljniji reakcioni putevi antiradikalског delovanja. Procenjene vrednosti ukazuju da je HAT termodinamički favorizovan u svim položajima, dok je RAF povoljan samo u C-6 i C-8 položajima u reakciji **4,7-DHK**² i HOO^\bullet . Razlika između k_{TST} i k_{ZCT_0} vrednosti na sobnoj temperaturi, kod HAT mehanizma, posledica je efekta tunelovanja. Zavisnost $\log(k_{ukupno})$ od pH vrednosti ukazuju da u intervalu od 10-14 jedinjenje **4,7-DHK** pokazuje najbolju efikasnost uklanjanja HOO^\bullet radikala.

Napomena

Istraživanje u ovom radu podržano je od strane Ministarstva prosvete, nauke i tehnološkog razvoja (Sporazumi broj: 451-03-68/2020-14/200122 i 451-03-68/2020-14/200378).

Literatura

Frisch M. J., Trucks G. W., Schlegel H. B., et al. (2010). Gaussian 09, Revision C.01, Gaussian, Inc., Wallingford, CT, USA.

- Fylaktakidou, K. C., Hadjipavlou-Litina, D. J., Litinas, K. E., Nicolaides, D. N. (2004). Natural and synthetic coumarin derivatives with anti-inflammatory/antioxidant activities. Current pharmaceutical design. 10(30): 3813-3833.
- Hanasaki, Y., Ogawa, S., Fukui, S. (1994). The correlation between active oxygens scavenging and antioxidative effects of flavonoids. Free Radical Biology and Medicine. 16(6): 845-850.
- Kalkhambkar, R. G. (2011). Synthesis and biologicalactivities of novel ethers of quinolinone linked with coumarins. Monatshefte für Chemie-Chemical Monthly. 142(3): 305-315.
- Milanović, Ž., Tošović, J., Marković, S., Marković, Z. (2020). Comparison of the scavenging capacities of phloroglucinol and 2, 4, 6-trihydroxypyridine towards HO[•] radical: a computational study. RSC Advances. 10(71): 43262-43272.
- Nowak, P. M., Sagan, F., Mitoraj, M. P. (2017). Origin of Remarkably Different Acidity of Hydroxycoumarins-Joint Experimental and Theoretical Studies. The Journal of Physical Chemistry B. 121(17): 4554-4561.
- Talapatra S. K., Talapatra B. (2015). Chemistry of Plant Natural Products, Berlin Heidelberg, Germany, Springer-Verlag Berlin Heidelberg.

INFLUENCE OF pH VALUE ON ANTRADICAL CAPACITY OF 4,7-DIHIDROXICUMARIN

Žiko Milanović^{1,2}, Ana Kesić¹, Edina Avdović¹, Jelena Đorović Jovanović¹, Dejan Milenković¹

Abstract

The mechanisms of antiradical activity of 4,7-dihydroxycoumarin against peroxy (HOO[•]) radical were investigated. For this purpose were used sophisticated computational methods. Investigation was performed in the water, at different pH values (0-14). Acid-base species, which are represented in diverse molar fraction (*f*) at different pH values, contribute to a comprehensive examination of antiradical capacity. An overall rate constant (*k*_{overall}) of the favorable reaction pathways (HAT and RAF) of $2.07 \times 10^2 \text{ M}^{-1}\text{s}^{-1}$ at physiological pH indicates a moderate ability to neutralization HOO[•] radicals. A value of $1.05 \times 10^3 \text{ M}^{-1} \text{ s}^{-1}$ occurring at pH > 10 indicates a maximum antiradical capacity of 4,7-dihydroxymumarin against the HOO[•] radical.

Key words: antioxidants, 4,7-dihydroxycoumarin, DFT

¹University of Kragujevac, Institute for Information Technologies, Department of Science, Jovana Cvijića bb, 34000 Kragujevac, Serbia (ziko.milanovic@pmf.kg.ac.rs);

²University of Kragujevac, Faculty of Science, Radoja Domanovića 12, Kragujevac, Serbia.